

Analyse algébrique en cryptographie

Luk Bettale

Jean-Charles Faugère, Ludovic Perret

Équipe SALSA

LIP6, Université Paris 6 & INRIA Paris-Rocquencourt



Contexte Général

“Breaking a good cipher should require as much work as solving a system of simultaneous equations in a large number of unknowns of a complex type.”

(Communication Theory of Secrecy Systems, 1949)



Claude E. Shannon

Cryptanalyse algébrique (1)

Objectif

Analyse de la sécurité – Problème fondamental en cryptologie

Démarche en 2 étapes

1. Mise en équation sous forme d'un système algébrique
2. Résolution du système (ou à défaut estimation de la difficulté)

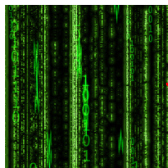
Stratégie :

Minimiser le nombre de variables et le degré des équations

Cryptanalyse algébrique (2)

Outils puissants pour résoudre des systèmes.

⇒ **base de Gröbner**



Cryptosystème

$$\begin{aligned}x + xy + xz + yz + yt + zt + t &= 0 \\xz + xt + yz + y + zt + 1 &= 0 \\xy + xt + zt + t + 1 &= 0 \\x + xy + xz + yz + yt + zt + z &= 0\end{aligned}$$

Système d'équations

Base de Gröbner

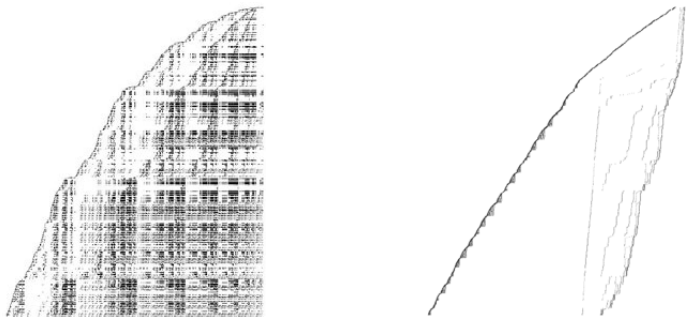
$$\begin{aligned}x + 1 &= 0 \\y + t + 1 &= 0 \\z + t &= 0 \\t^2 + t &= 0\end{aligned}$$

$$\begin{array}{ll}x = 1 & x = 1 \\y = 0 & y = 1 \\z = 1 & z = 0 \\t = 1 & t = 0\end{array}$$

Solutions

Algorithmes

- ▶ Complexité exponentielle en général
- ▶ Importance d'une bonne implantation
- ▶ Algorithmes F4 et F5



Applications

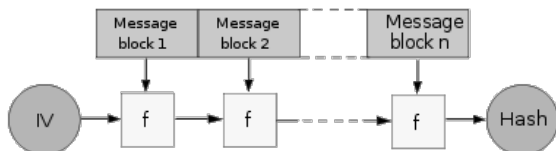
- ▶ Chiffrement par flot
- ▶ Chiffrement par blocs
- ▶ Fonctions de hachages
- ▶ Schémas multivariés



Fonctions de hachage

Fonction qui prend en entrée un message de longueur quelconque et produit en sortie une empreinte de longueur n :

$$h : \{0, 1\}^* \rightarrow \{0, 1\}^n$$



- ▶ Assurer l'intégrité d'un message
- ▶ Protection de mots de passe
- ▶ Signature électronique
- ▶ Génération pseudo-aléatoire

SHA-1

Opérations utilisées

- ▶ Opérations booléennes (\wedge, \vee, \oplus)
- ▶ Additions modulo 2^{32} (mots machine)

$$f : \mathbb{F}_2^{160} \times \mathbb{F}_2^{512} \rightarrow \mathbb{F}_2^{160}$$

pour $i \in \{16, \dots, 80\}$:

$$m_i = (m_{i-3} \oplus m_{i-8} \oplus m_{i-14} \oplus m_{i-16})$$

pour $i \in \{1, \dots, 80\}$:

$$a_i = (a_{i-1} \ll 5) + f_i(b_{i-1}, c_{i-1}, d_{i-1}) + e_{i-1} + m_i + k_i$$

$$b_i = a_{i-1}$$

$$c_i = (b_{i-1} \ll 30)$$

$$d_i = c_{i-1}$$

$$e_i = d_{i-1}$$

fonction f_i :

$$\text{IF} : (x \wedge y) \vee (\neg x \wedge z)$$

$$\text{XOR} : x \oplus y \oplus z$$

$$\text{MAJ} : (x \wedge y) \vee (x \wedge z) \vee (y \wedge z)$$

Résultats

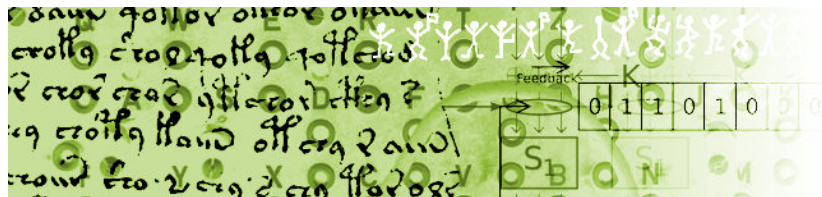
- ▶ Plate-forme logicielle pour attaques algébriques sur SHA-1 (Magma)
- ▶ Analyse de sécurité de fonctions de hachage multivariées

Attaque en collision sur les fonctions de hachage multivariées

$\#\mathbb{K}$	n	$n - k$	k	$T_{\mathbb{F}_5}$	$\text{Nop}_{\mathbb{F}_5}$	N	N_{gen}
2^{16}	16	15	1	$\approx 1 \text{ h.}$	$2^{36.9}$	$2^{52.9}$	2^{128}
		14	2	126 s.	$2^{32.3}$	$2^{64.3}$	
2^8	20	18	2	51 h.	2^{41}	2^{57}	2^{80}
		17	3	2h45min.	2^{37}	2^{61}	
		16	4	643.1 s.	2^{34}	2^{66}	

FIG.: Temps de résolution et complexité

Travaux en cours



- ▶ Cryptanalyse systématique d'autres schémas
- ▶ Attaques en préimage sur SHA-1
- ▶ Bornes précises pour les schémas multivariés